

II-78 堤防貯水の上流水質に及ぼす影響

京都大学工学部 云貴 工博 岩井 康久
 " " ○森 敏
 岐阜大学工学部 " 富永 云俊

この研究は淀川下流部の鳥飼-長柄間約15kmにおいて、長柄可動堰の80cm嵩上げ計画が実現した場合に、堵水域内のBOD、DO、大腸菌群の濃度がどう変化するかについて調査、検討したものである。

(A) BODの濃度分布の変化

せき上げ前の河川区間AEにおけるBOD濃度 L (ppm)は次式で表わされる。

$$L = L_a \exp(-k_s t)$$

$k_s = k_1 + k_3$ (%), k_1 =好気的脱酸素反応速度恒数, k_3 =嫌気的脱酸素反応速度恒数

L_a =A点におけるBOD濃度(ppm), t =A点から任意地點までの流下時間(日)

せき上げ後のBOD濃度分布は、第1回
で

$$\Delta W_{i,i+1} = \Delta W_{i,i+1} + \delta W_i \quad (2)$$

ここで

$$\Delta W_{i,i+1} = \frac{Q}{2} \left(\frac{W_i}{V_i} + \frac{W_{i+1}}{V_{i+1}} \right) + \frac{E_{i,i+1} A_{i,i+1}}{J_{i,i+1}} \left(\frac{W_i}{V_i} - \frac{W_{i+1}}{V_{i+1}} \right) \quad (3)$$

$$\text{ただし}, \Delta W_i = Q L_a$$

$$\Delta W_i = Q \cdot \frac{W_i}{V_i} - \frac{1}{2} \delta W_i$$

$$\delta W_i = k_s W_i \quad (4)$$

$$t_{si} = 1 - \exp(-k_s t) \quad (5)$$

式(2)による連立方程式を解くと、各区間ににおけるBODの重量 g を ΔW_i が求まる。これを各区間の体積 V_i (m^3)で割れば第1回のごとき濃度分布図を求めることができる。

上式中、 Q は流入量(%), $\Delta W_{i,i+1}$ は区間 i , $i+1$ の境界面を1日に通過するBODの重量(%), δW_i は区間 i において1日に消失するBOD重量(%). 式(3)における第1項は対流項で河川などにおいて重要な(支配的な)項である。第2項はTikhの法則ともとづく拡散項であり、池、湖、貯水池などにおいて重要な項である。 δ は混流拡散係数(%)である。今度の流れの場合には計算後、この影響が無視されてしまう。

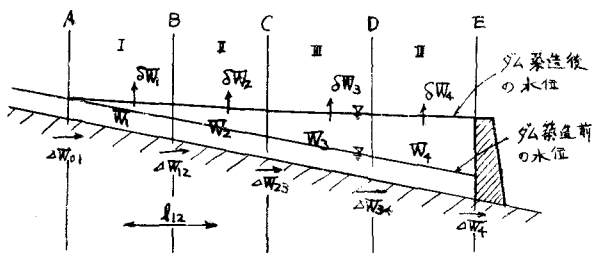


図 1

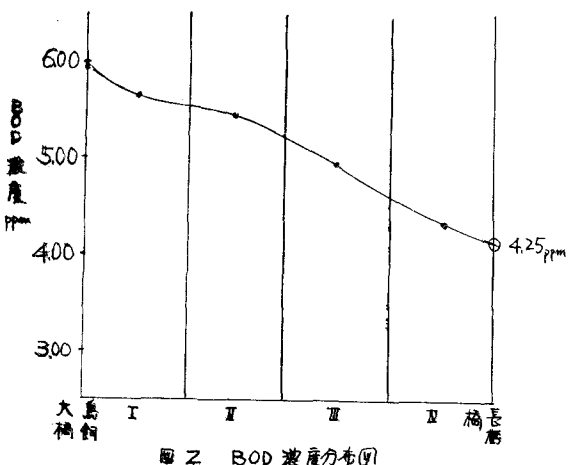


図 2 BOD濃度分布図

とがゆがった。 A_{sh} は境界面の縦断面積 (m^2)

(例) 淀川の鳥飼 - 長柄間の現在の堰の場合

式(2)は

$\frac{L}{m}$	L_{sh}	A_{sh}	V	$\frac{k_2}{V}$	R_s	W_3	W/T
I	2175 - 176	4.47×10^5	0.65	0.075	2.52	5.62	
II	2100 - 476	5.63×10^5	0.43	0.063	3.04	5.40	
III	2075 - 502	9.66×10^5	0.45	0.110	4.78	4.94	
IV		12.51×10^5	0.47	0.143	5.44	4.34	

$$5.1 = 11.36 W_1 + 7.43 W_2$$

$$9.92 W_1 = 1.76 W_2 + 4.14 W_3$$

$$8.23 W_2 = 1.64 W_3 + 3.19 W_4$$

$$4.81 W_3 = 4.20 W_4$$

とか、た。

これより、最終地点の長柄地点におけるBOD濃度は4.25 ppmとなる。(図2参照)

(B) DOの濃度分布変化

BODと同様の計算ができる。

せき上げ前の濃度分布は Thomas が改良した次の Streeter-Phelps の式から求まる。

$$D = C_0 - C$$

$$= \frac{k_2 L_a}{k_2 - k_1 R_s} \left[\exp \left\{ -(k_1 + k_2) t \right\} - \exp(-k_2 t) \right] + D_a \exp(-k_2 t)$$

D = 任意地点の溶存酸素不足濃度 (ppm), C_0 = 飽和溶存酸素濃度 (ppm), C = 溶存酸素濃度 (ppm), D_a = A点における溶存酸素不足濃度 (ppm), k_2 = 再曝気速度恒数 (%).

せき上げ後の濃度分布は第3回で

$$\Delta C_{j+1,i} + \delta C_i = \Delta C_{j,i+1} + \delta W_i$$

となる。

$$\delta C_i = k_2 \frac{Q}{V} (C_i - C_j)$$

$$C_{j,i} = C_0 \times V_i \quad (g)$$

$$k_{2,i} = 1 - \exp(-k_{2,i} t_i)$$

$$\delta W_i = -\frac{k_{2,i}}{k_{2,i} + k_{1,i}} \cdot k_{2,i} \times \frac{Q}{V} \cdot W_i$$

$\Delta C_{j+1,i}$ は $\Delta W_{j,i+1}$ に準じる。

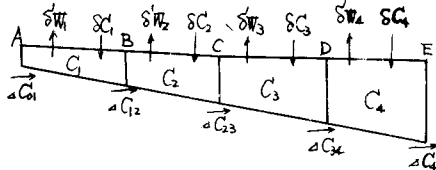


図3

符号はBODの場合に準じる。大文字Cは重量でg数、小文字cは濃度でppm。

まず長柄可動堰嵩上げ後の脊水曲線を求めて、これが鳥飼までおよぶことを知り、この区間を4等分して上記の手法を適用して、次のような結果を得た。

計算条件、流量 $Q = 8.64 \times 10^6 m^3/d$, 鳥飼地点の終極BOD濃度 5.92 ppm.

水温 10.8°C, 鳥飼地点の溶存酸素不足濃度 4.72 ppm

と夫とき、長柄地点の終極BOD濃度 BOD_{de} 、溶存酸素不足濃度 D は次の通りである。

堰のない場合 $BOD_{de} = 4.7 \text{ ppm}$ $D = 4.3 \text{ ppm}$

現在の堰の場合 4.3 ppm 4.5 ppm

嵩上げ堰の場合 3.9 ppm 4.6 ppm

すなわち、この場合、長柄可動堰地点において、BODに関してはゆずかぬがらも減少は予想されるが、DOに関しては、ほとんど変化せず、むしろ悪化の傾向が予想される。